

# Построение точных решений трехмерных задач конвекции \*

О.Н. ГОНЧАРОВА

*Алтайский государственный университет, Барнаул  
Институт теплофизики им. С.С. Кутателадзе СО РАН, Новосибирск*

В.В. ПУХНАЧЁВ

*Институт гидродинамики им. М.А. Лаврентьева СО РАН, Новосибирск  
Новосибирский государственный университет, Новосибирск*

e-mail: pukhnachev@gmail.com

Изучаются точные решения трехмерных задач конвекции на основе классических уравнений Обербека-Буссинеска. Решения являются трехмерным обобщением известного точного решения (Бирих, 1966). Исследуется групповая природа решений, обсуждается корректность постановок начально-краевых задач. Одной из рассмотренных задач является конвекция двух несмешивающихся, вязких, несжимаемых жидкостей в бесконечном канале с прямоугольным поперечным сечением под действием продольного градиента температуры и поперечно направленной силы тяжести. При численном исследовании стационарной задачи осуществляется редукция к двумерным постановкам. Приводятся примеры течений с границей раздела в канале с теплоизолированными твердыми стенками.

## 1. Введение

Изучается точное решение трехмерной, стационарной задачи конвекции двух несмешивающихся, вязких, несжимаемых жидкостей в канале с прямоугольным поперечным сечением при наличии границы раздела. Конвективное движение жидкостей описывается системой уравнений Обербека-Буссинеска. На термокапиллярной границе раздела выполняются кинематическое и динамические условия, а также условия непрерывности скорости, температуры и тепловых потоков. Решение является трехмерным обобщением известного точного решения в горизонтальной полосе [1]. Экспериментальными и численными методами в [2] исследовалась задача о конвекции в длинной горизонтальной кювете при постоянном перепаде температуры на боковых границах, и решение Бириха [1] было подтверждено. Конвективные движения двух несмешивающихся жидкостей с недеформируемой границей изучались в [3]. Обзор двумерных решений, описывающих двухслойные течения при дополнительном условии замкнутости потока, дан в [4]. Точные решения, построенные на основе уравнений Обербека-Буссинеска и Навье-Стокса и удовлетворяющие всем условиям на границе раздела, изучались в [5].

Моделирование трехмерной конвекции, в том числе, и построение точных решений, приобретает в последнее время особую актуальность в связи с возможностью описывать

---

\*Работа выполнена в рамках совместного Интеграционного проекта СО РАН, УрО РАН и ДВО РАН № 116 "Моделирование, оптимизация и устойчивость конвективных течений" и при финансовой поддержке Грантов РФФИ № 10-01-00007, № 09-08-01127 и Федеральной целевой программы "Кадры" (контракт № 14.740.11.0355).

реальные течения жидкостей с границами раздела. Подготовка и проведение экспериментов в условиях земной и пониженной гравитации [6, 7] и связанных с изучением конвективных и других процессов в жидкости и газе, предоставляют возможность физической интерпретации точных решений классических уравнений конвекции. Обобщение плоского течения на случай движения в цилиндрическом канале произвольного поперечного сечения дано в [8]. Там же предложена интерпретация построенного решения для описания переноса пассивной примеси на большие расстояния вдоль трубы при совместном действии продольного градиента температуры и поперечной силы тяжести. В [9] рассматривается конвекция во вращающейся круглой трубе, возбуждаемая взаимодействием центробежной силы и теплового потока вдоль оси трубы. Построение решений в задаче конвекции в двух- и многослойных системах коаксиальных цилиндров с недеформируемыми границами проводится в [10].

В данной работе изучается конвекция в бесконечном канале с прямоугольным поперечным сечением под действием продольного градиента температуры. Поле скоростей имеет три ненулевые компоненты, представляющие собой функции, зависящие от поперечных координат. Температура и давление также имеют аналогичные составляющие. (При изучении нестационарных задач следует учитывать зависимость от времени.) Осуществляется редукция к двумерным постановкам. При построении численного алгоритма вводятся новые искомые функции: вместо поперечных компонент скорости введены функция тока и завихренность. Проводится безразмерный анализ задачи. Приведены примеры конвективных течений в канале в условиях гравитации и микрогравитации в случае, когда твердые стенки теплоизолированы.

## 2. Постановка задачи. Построение точных решений

Классические уравнения Обербека-Буссинеска применяются для изучения тепловой гравитационной конвекции жидкости [11, 12]:

$$\mathbf{v}_t + \mathbf{v} \cdot \nabla \mathbf{v} = -\frac{1}{\rho} \nabla p + \nu \Delta \mathbf{v} - \beta T \mathbf{g}, \quad \nabla \cdot \mathbf{v} = 0, \quad T_t + \mathbf{v} \cdot \nabla T = \chi \Delta T. \quad (1)$$

Здесь  $\mathbf{v} = (u, v, w)$  — вектор скорости жидкости,  $p$  — давление (отклонение давления от гидростатического),  $T$  — температура,  $\rho$  — плотность,  $\nu$  — коэффициент кинематической вязкости,  $\chi$  — коэффициент температуропроводности,  $\beta$  — коэффициент теплового (объемного) расширения. Предполагается, что система координат выбрана таким образом, что вектор ускорения силы тяжести направлен против оси  $Ox$ :  $\mathbf{g} = (-g, 0, 0)$ .

Обобщение решений Бириха для трехмерных задач конвекции основано на том факте, что решения, построенные в [1], являются инвариантными решениями системы уравнений Обербека-Буссинеска (1) относительно трехпараметрической группы Ли, порожденной инфинитезимальными операторами  $\partial_t$ ,  $\partial_y$  и  $Z = -A^{-1} \partial_z + \rho \beta g x \partial_p + \partial_T$ . Все инвариантные  $Z$ -решения системы (1) имеют представление [8]:

$$u = u(x, y, t), v = v(x, y, t), w = w(x, y, t), p = -A\rho\beta g x z + q(x, y, t), T = -Az + \Theta(x, y, t), \quad (2)$$

где функции  $u, v, w, q, \Theta$  будут удовлетворять некоторой системе дифференциальных уравнений с тремя независимыми переменными  $t, x, y$ . Эта система уравнений является следствием системы (1), а по своей структуре похожа на систему уравнений Навье-Стокса в плоском случае, дополненную двумя параболическими уравнениями. При по-

становке начально-краевых задач для нахождения функций  $u, v, w, q, \Theta$  следует исходить из заданного начального состояния и граничных условий: условий прилипания для скорости на твердых непроницаемых границах и заданного теплового режима (теплого потока или температуры). Вопросы корректности постановки задач могут быть успешно исследованы.

## 2.1 Построение стационарного решения при наличии границы раздела

Пусть две несмешивающиеся жидкости (либо жидкость и газ) заполняют бесконечный горизонтальный канал, имеют недеформируемую границу раздела, определяемую уравнением  $x = 0$ . Заметим, что случай неплоской границы раздела заслуживает быть рассмотренным позднее. Для построения решения вида (2) системы уравнений (1), применяемых для описания конвекции в обеих жидкостях, в стационарном случае перейдем к безразмерной формулировке. Тогда

$$u = u(x, y), v = v(x, y), w = w(x, y), p = -\tilde{T} \frac{Gr}{Re^2} xz + q(x, y), T = -\tilde{T}z + \Theta(x, y),$$

$$u^g = u^g(x, y), v^g = v^g(x, y), w^g = w^g(x, y), p^g = -\tilde{T}\bar{\rho}\bar{\beta} \frac{Gr}{Re^2} xz + q^g(x, y), T^g = -\tilde{T}z + \Theta^g(x, y). \quad (3)$$

Здесь индекс  $g$  определяет искомые функции верхней (легкой) жидкости (или газа),  $\tilde{T} = Ah/T_*$ ,  $h$  — характерный размер,  $T_*$  — характерная температура,  $\bar{\rho}$ ,  $\bar{\nu}$ ,  $\bar{\chi}$ ,  $\bar{\beta}$  — отношения плотностей и коэффициентов кинематической вязкости, температуропроводности, температурного расширения верхней (легкой) и нижней жидкости,  $\bar{u}$  отношение двух характерных скоростей задачи (продольной и поперечной  $u_*$  характерных скоростей),  $Gr = \beta T_* g h^3 / \nu^2$  — число Грасгофа,  $Re = u_* h / \nu$  — число Рейнольдса.

Задача нахождения поперечных компонент скорости  $u, v$  и  $u^g, v^g$  может быть сформулирована в терминах новых искомых функций: функции тока  $\psi, \psi^g$  и завихренности  $\omega, \omega^g$ . Данные функции удовлетворяют следующим системам дифференциальных уравнений:

$$\Delta\psi = -\omega, \quad u\omega_x + v\omega_y = \frac{1}{Re}\Delta\omega - \frac{Gr}{Re^2}\Theta_y, \quad (4)$$

$$\Delta\psi^g = -\omega^g, \quad u^g\omega_x^g + v^g\omega_y^g = \frac{\bar{\nu}}{Re}\Delta\omega^g - \bar{\beta}\frac{Gr}{Re^2}\Theta_y^g \quad (5)$$

в областях  $\tilde{\Omega} = \{(x, y, z) : -\underline{x} < x < 0, 0 < y < 1, z = z_0\}$  и  $\tilde{\Omega}_g = \{(x, y, z) : 0 < x < \bar{x}, 0 < y < 1, z = z_0\}$ , соответственно. Здесь

$$u = \psi_y, \quad v = -\psi_x, \quad u^g = \psi_y^g, \quad v^g = -\psi_x^g. \quad (6)$$

Функции  $\psi, \psi^g, \omega, \omega^g$  удовлетворяют граничным условиям:  $\psi = 0, \psi^g = 0$  всюду на границах  $\tilde{\Omega}$  и  $\tilde{\Omega}_g$ . Кроме того,  $\psi_x = 0$  при  $x = -\underline{x}$ ,  $\psi_x^g = 0$  при  $x = \bar{x}$ ,  $\psi_y = 0, \psi_y^g = 0$  при  $y = 0$  и  $y = 1$ . Динамические условия на границе раздела  $x = 0$  формулируются в виде:

$$\omega - \bar{\rho}\bar{\nu}\omega^g = -\frac{Ma}{RePr}\Theta_y, \quad 2(\psi_{yx} - \bar{\rho}\bar{\nu}\psi_{yx}^g)_y = (\bar{\rho} - 1)Re\psi_x\psi_{xy} + \omega_x - \bar{\rho}\bar{\nu}\omega_x^g. \quad (7)$$

Функции  $w, w^g$ , определяющие третьи, продольные, компоненты скорости, представляют собой решение следующих дифференциальных уравнений

$$u w_x + v w_y = \tilde{T}\bar{u} \frac{Gr}{Re^2} x + \frac{1}{Re}(w_{xx} + w_{yy}), \quad u^g w_x^g + v^g w_y^g = \bar{\beta}\tilde{T}\bar{u} \frac{Gr}{Re^2} x + \frac{\bar{\nu}}{Re}(w_{xx}^g + w_{yy}^g), \quad (8)$$

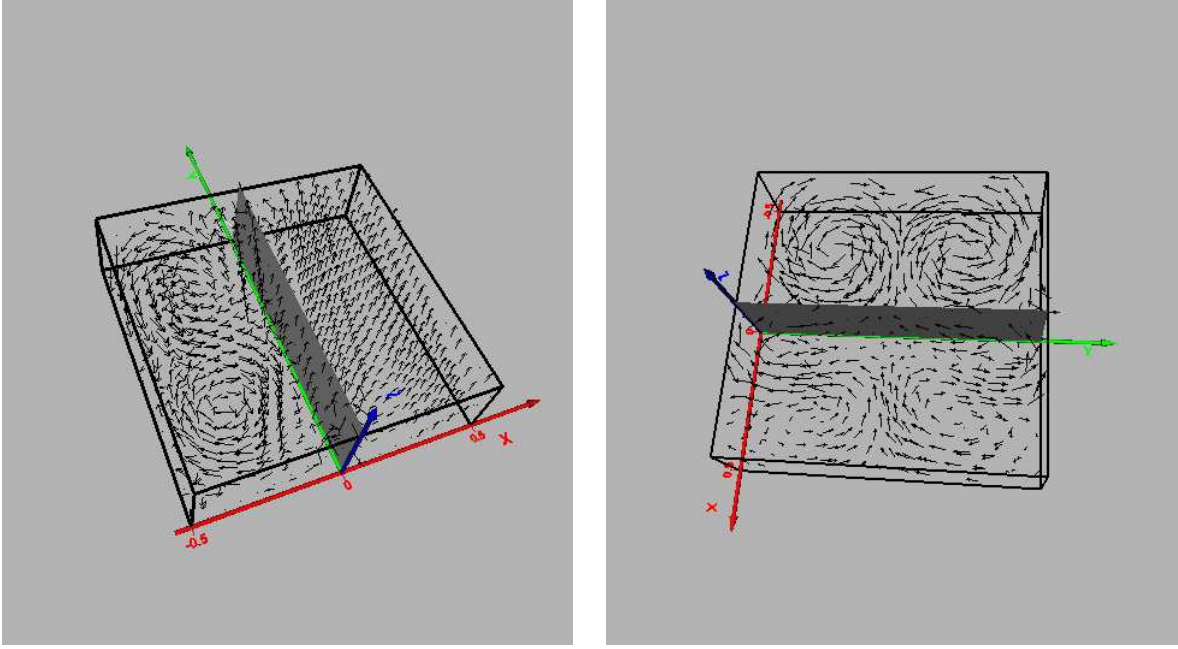


Рис. 1. Поле скоростей,  $Gr = 10000$ ,  $\tilde{T} = 10$ :  $\bar{u} = 1$  (слева);  $\bar{u} = 0.1$  (справа)

удовлетворяющие условию непрерывности скорости и динамическому условию на границе раздела (при  $x = 0$ )

$$w|_{x=0} = w^g|_{x=0}, \quad w_x - \bar{\rho}\bar{\nu}w_x^g = \tilde{T}\bar{u} \frac{Ma}{RePr} \quad (9)$$

и условиям прилипания

$$w|_{x=-\bar{x}} = 0, \quad w^g|_{x=\bar{x}} = 0, \quad w_{y=0} = 0, \quad w_{y=1} = 0, \quad w_{y=0}^g = 0, \quad w_{y=1}^g = 0. \quad (10)$$

Составляющие температуры в обеих фазах  $\Theta$  и  $\Theta^g$ , зависящие от поперечных координат  $x, y$ , определяются уравнениями

$$u\Theta_x + v\Theta_y = \frac{\tilde{T}}{\bar{u}}w + \frac{1}{RePr}(\Theta_{xx} + \Theta_{yy}), \quad u^g\Theta_x^g + v^g\Theta_y^g = \frac{\tilde{T}}{\bar{u}}w^g + \frac{\bar{\chi}}{RePr}(\Theta_{xx}^g + \Theta_{yy}^g) \quad (11)$$

и граничными условиями, которые представляют собой условия непрерывности температуры и тепловых потоков на границе раздела

$$\Theta|_{x=0} = \Theta^g|_{x=0}, \quad \Theta_x|_{x=0} = \bar{\kappa}\Theta_x^g|_{x=0}, \quad (12)$$

а также условиями теплового режима на твердых границах. Ограничимся рассмотрением условий их теплоизоляции

$$\Theta_x|_{x=-\bar{x}} = \Theta_x^g|_{x=\bar{x}} = 0, \quad \Theta_y|_{y=0} = \Theta_y^g|_{y=1} = 0. \quad (13)$$

Отметим, что введены следующие обозначения:  $Pr = \nu/\chi$  — число Прандтля,  $Ma = \sigma_T T_* h / (\rho\nu\chi)$  — число Марангони,  $\sigma_T$  — температурный коэффициент поверхностного натяжения (предполагается линейная зависимость поверхностного натяжения от температуры),  $\bar{\kappa}$  — отношение коэффициентов теплопроводности газа и жидкости.

## 2.2 Численное исследование. Результаты

Численные методы, разработанные для исследования задач конвекции в областях с твердыми и свободными границами [12], применяются для решения двумерных задач.

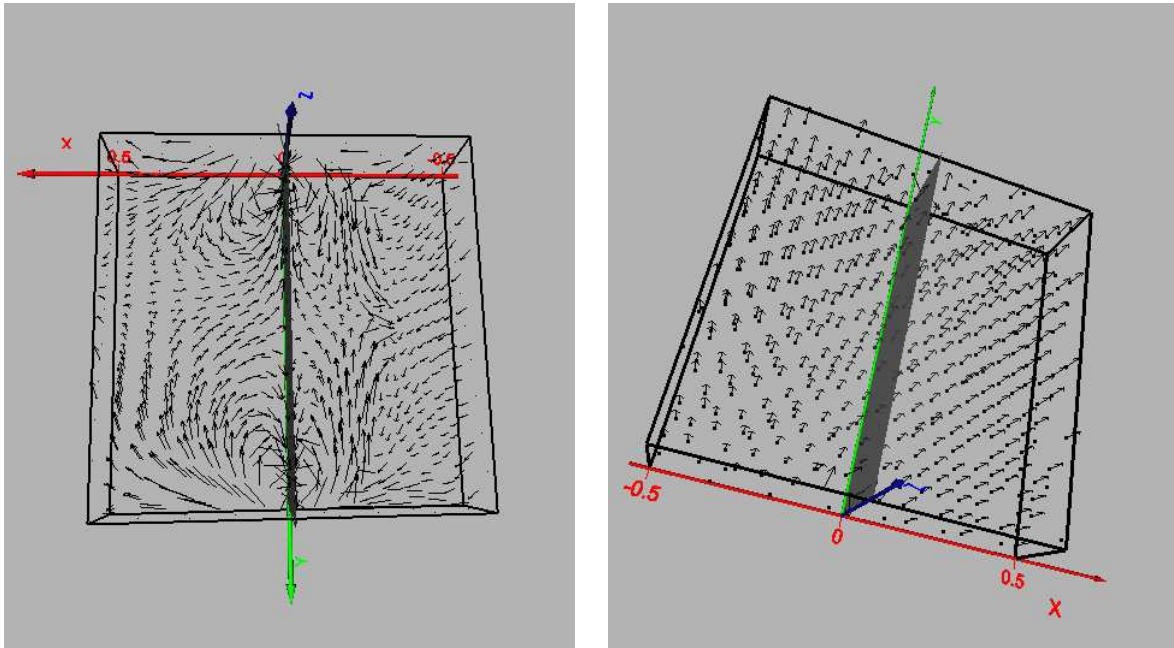


Рис. 2. Поле скоростей:  $Gr = 10000$ ,  $\tilde{T} = 0.5$ ,  $\bar{u} = 0.1$  (слева);  $Gr = 1$ ,  $\tilde{T} = 10$ ,  $\bar{u} = 1$  (справа)

Численный алгоритм базируется на продольно-поперечной конечно-разностной схеме, известной, как метод переменных направлений [13]. Разностные условия для вихря (условия Тома [11, 12]) формулируются на твердых непроницаемых границах областей  $\Omega$  и  $\tilde{\Omega}_g$ .

Общая схема решения стационарной задачи состоит в организации итерационного процесса при последовательном осуществлении следующих этапов. (I): Исходим из заданного состояния, предполагая, что компоненты скорости  $u$ ,  $v$ ,  $u^g$ ,  $v^g$  найдены. С заданными  $u$ ,  $v$ ,  $u^g$ ,  $v^g$  решаем численно задачи (8)-(10) и находим третьи компоненты векторов скорости  $w$  и  $w^g$ . (II): Для нахождения неизвестных компонент температуры  $\Theta$  и  $\Theta^g$  численно решаем уравнения (11) с условиями (12) на границе раздела и условиями (13) на твердых границах. (III): Следующим этапом является решение системы уравнений и граничных условий (4)-(7). (IV): Компоненты  $u$ ,  $v$ ,  $u^g$ ,  $v^g$  векторов скорости вычисляются, согласно (6). (V) Возвращение к этапу (I). Итерационный процесс организован с применением критериев сходимости [12].

Численные исследования проведены для жидкостей типа этанол и азот [6]. При этом, имеют место следующие значения безразмерных параметров:  $\bar{\rho} \sim 10^{-3}$ ,  $\bar{\nu} \sim 10$ ,  $\bar{\chi} \sim 100$ ,  $\bar{\beta} \approx 4$ ,  $\bar{\kappa} \approx 6$ ,  $Pr = 10$ ,  $Ma = 10^4$ ,  $Re = 1$ . Расчеты проводятся для значений числа Грасгофа  $Gr = \{10^4, 10^2, 1\}$ , соответствующих условиям нормальной гравитации  $g = g_0 = 10^3 \text{ cm/s}^2$ , слабой гравитации или микрогравитации  $10 \text{ cm/s}^2$  ( $10^{-2}g_0$ ),  $10^{-1} \text{ cm/s}^2$  ( $10^{-4}g_0$ ), соответственно. Исследуются особенности течений, определяемые эффектами гравитации (см. Рис. 1 (слева), Рис. 2 (справа)), различной интенсивностью продольного градиента температуры (см. Рис. 1 (справа), Рис. 2 (слева)) при разных значениях параметра  $\bar{u}$  (см. Рис.1). Значение безразмерного параметра  $\tilde{T} = 10$  соответствует размерному значению параметра  $A = 10 \text{ K/cm}$  (см. (2), (3)), значение  $\tilde{T} = 1$  соответствует  $A = 1 \text{ K/cm}$ , значение  $\tilde{T} = 0.5$  соответствует  $A = 0.5 \text{ K/cm}$ .

### 3. Заключение

Построено точное решение трехмерной задачи конвекции при наличии продольного градиента температуры и поперечной силы тяжести. Численно исследованы трехмерные эффекты в случае теплоизоляции твердых границ. Течение двух несмешивающихся жидкостей в канале прямоугольного сечения существенно зависит, как от величины градиента температуры, так и от интенсивности гравитационного поля. Наблюдаются отличия не только во вращательном характере движения обеих жидкостей. Поступательно-вихревое движение нижней (более тяжелой) жидкости может сопровождаться продольно-поступательным движением верхней.

Изучен пример стационарного течения в цилиндрической трубе, обладающего четырехячейстой структурой при спиралеобразном характере траекторий жидких частиц.

### Список литературы

- [1] Бирих Р.В. О термокапиллярной конвекции в горизонтальном слое жидкости // ПМТФ. 1966. № 3. С. 69–72.
- [2] Кирдяшкин А.Г., Полежаев В.И., Федюшкин А.И. Тепловая конвекция в горизонтальном слое при боковом подводе тепла // ПМТФ. 1983. № 6. С. 122–128.
- [3] NAPOLITANO L.G. Plane Marangoni-Poiseuille flow of two immiscible fluids // Acta Astronautica. 1980. No 2. P. 461–478.
- [4] АНДРЕЕВ В.К., БЕКЕЖАНОВА В.Б. Устойчивость неизотермических жидкостей. Красноярск. 2010 (Монография. Мин. обр. и науки РФ. Сибирский фед. ун-т. СО РАН. Ин-т вычисл. моделирования).
- [5] GONCHAROVA O., KABOV O. Mathematical and numerical modeling of convection in a horizontal layer under co-current gas flow // Int. J. of Heat and Mass Transfer. 2010. Vol. 53. P. 2795–2807.
- [6] IORIO C.S., GONCHAROVA O., KABOV O. Study of evaporative convection in an open cavity under shear stress flow // Microgravity Sci. Technol. 2009. No 21(1). P. 313–320.
- [7] GONCHAROVA O.N., KABOV O.A., PUKHNASHOV V.V. Exact solutions of the three dimensional problems of convection based on the classical mathematical // Fifth International Topical Team Workshop on TWO-PHASE SYSTEMS FOR GROUND AND SPACE APPLICATIONS. September 26-29, 2010, Kyoto, Japan.
- [8] ПУХНАЧЁВ В.В. Теоретико-групповая природа решения Бириха и их обобщения. Симметрии и дифференциальные уравнения // Сб. науч. тр. / РАН. Сиб. отд-ние. Ин-т вычисл. моделирования. Красноярск. 2000. С. 180–183.
- [9] Бирих Р.В., Пухначёв Осевое конвективное течение во вращающейся трубе с продольным градиентом температуры // Доклады АН. 2010.
- [10] BRISKMAN V.A., ZUEV A.L., LYUBIMOVA T.P., NEPOMNYASCHY A.A Thermocapillary flows and deformations of the surface in the systems of fluid layers with the longitudinal temperature gradient in microgravity // Microgravity Sci. Technol. 1991. No VI(2). P. 98–99.
- [11] РОУЧ П. Вычислительная гидродинамика: Пер. с англ. М.: Мир, 1975. 616 с.
- [12] Современные математические модели конвекции / В.К. Андреев, Ю.В. Гапоненко, О.Н. Гончарова, В.В. Пухначёв. М.: Физматлит, 2008. 368 с.
- [13] ЯНЕНКО Н.Н. Метод дробных шагов решения многомерных задач математической физики. Новосибирск: Наука, 1967. 196 с.